

Zakład Badawczo Leczniczy Chorób Nerwowo – Mięśniowych
Instytut Medycyny Doświadczalnej i Klinicznej PAN
ul.Pawińskiego 5, 02-106 Warszawa
Tel/ fax /4822/ 608 65 26

Badanie wycinka mięśniowego w mikroskopie świetlnym i elektronowym

Nr:34/14

Imię i nazwisko :

Wiek:31

Rozpoznanie: Postępujące osłabienie mięśni

Data pobrania wycinka: 8 IX 2014r.

Mięsień:

Barwienie: H-E, trichrom Gomoriego, DHB, DHM, DPNH, ATP-azy

W pobranym wycinku włókna mięśniowe o prawidłowej średnicy i strukturze tworzą pęczki oddzielone śladową ilością tkanki łącznej. Podział włókien na typy metaboliczne zachowany prawidłowo z prawidłową aktywnością dehydrogenaz i ATP-az. W barwieniu trichromem Gomoriego w pojedynczych włóknach widoczne punktowe wakuole wymagające oceny w M-E.

Analiza ultrastrukturalna wykazała obecność w niektórych włóknach typu I obrzmiałe mitochondria z ubytkiem grzebieni w obrębie interioru – architektura włókien mięśniowych zachowana, jądra komórek mięśniowych o prawidłowej strukturze. Zwraca uwagę obecność nieprawidłowości w strukturze periaksonalnej włókien nerwowych wewnątrz mięśniowych z brakiem drugorzędowych fałd postsynaptycznych. Dane te wymagają oceny przewodzenia końcowego – nerw – płytki /EMG/

Prof.dr hab. A. Fidziańska - Dolot

4714926 | Prof. dr hab. med.
Anna Fidziańska-Dolot
specjalista neurolog
02-758 Warszawa
ul. Neseberska 3 m.1

Anna Fidziańska-Dolot

Rok: 2014

Przypadek: Nr 34/14

Rozpoznanie: Postępujące osłabienie mięśniowe

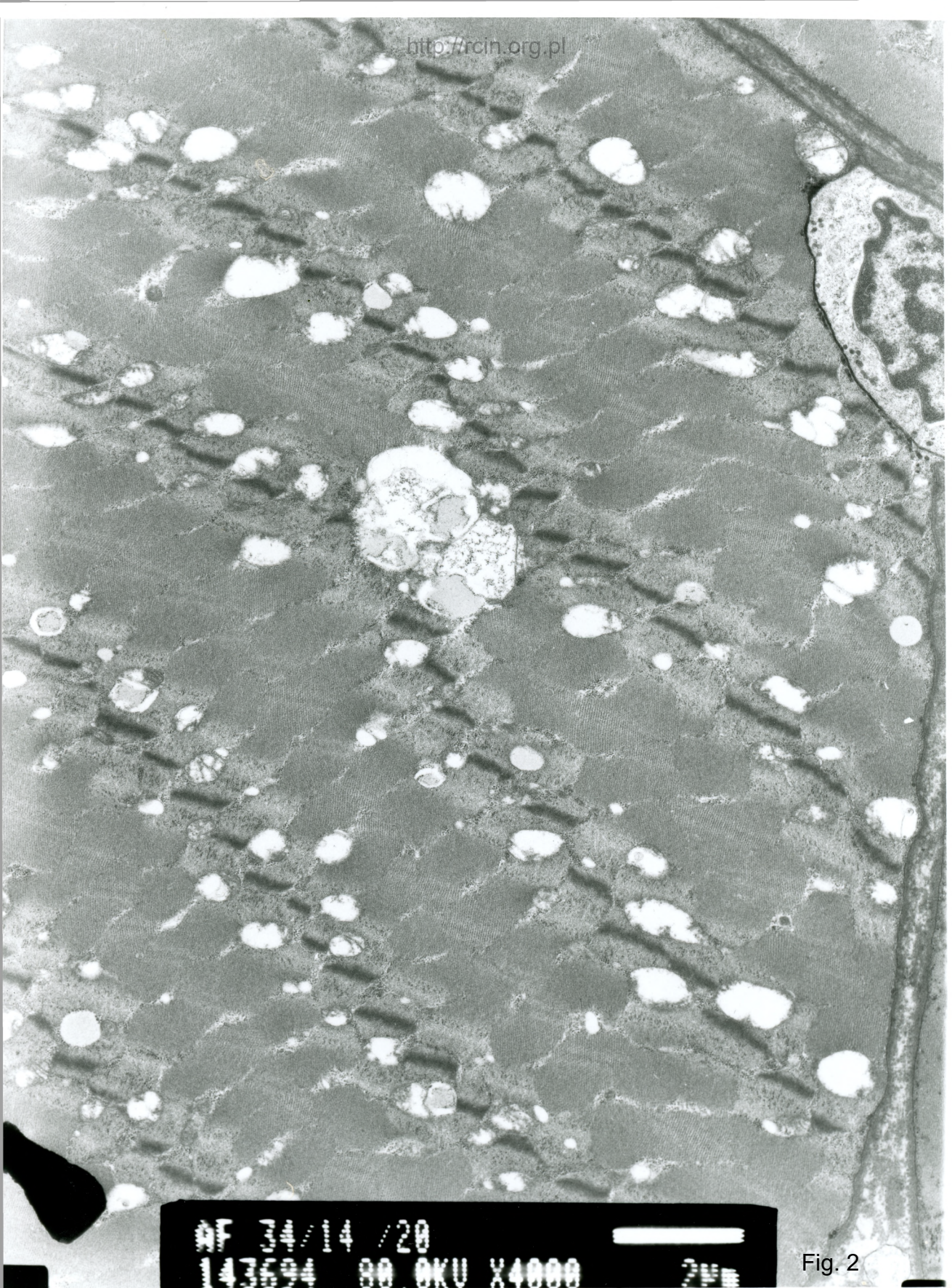
Fig 1, 2 Niezmienione włókno mięśniowe z widocznymi ubytkami grzebieni mitochondrialnych.

Fig.3,4 Nieprawidłowości w strukturze periaksonalnej włókien nerwowych wewnątrzmięśniowych.

Fig. 5,6 Brak drugorzędowych fałd postsynaptycznych.

Summary

An 31-year-old patient with suspected progressive muscle weakness was examined. A biopsy of muscle was performed. Electronmicroscopy analysis revealed the unchanged structure of muscle fibers with mitochondrial cristae defect (Fig. 1,2). Abnormalities in the periaxonal structure of intramuscular nerve fibers were observed (Fig. 3.4). Neuromuscular junctions showed no secondary postsynaptic folds (Fig. 5,6).



97 Jul 14 /20

14359 80 OKU X4000

2µm

Fig. 2



Fig. 3

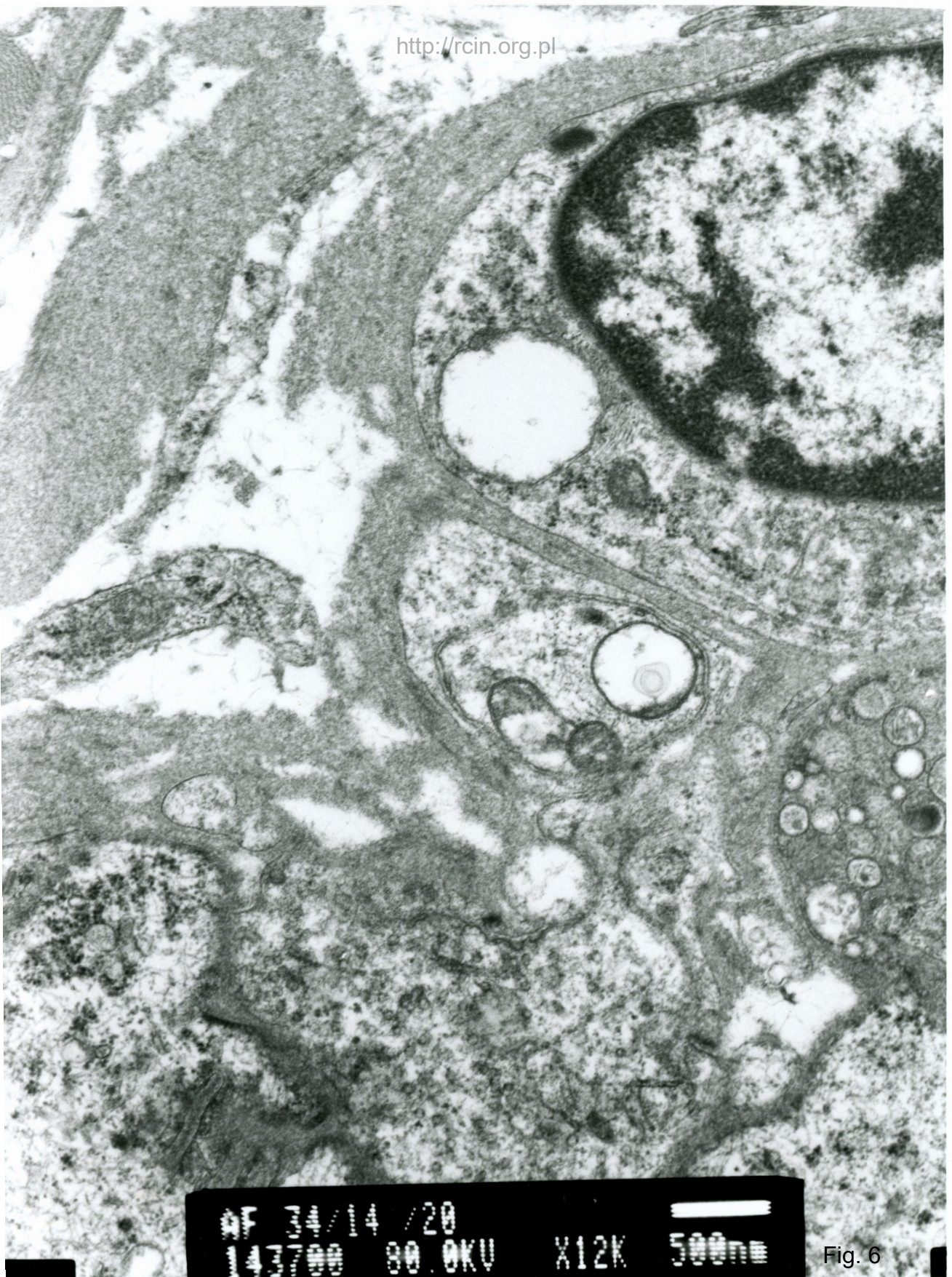
AF 14 / 20
14 00 07 80.0KV X7500





9F 34/14 /20
143599 80.0KV X7500

Fig. 4



9F 34/14 /20
143700 80.0KV X12K 500nm

Fig. 6